

# NGHIÊN CỨU CÁC CHẤT QUANG XÚC TÁC $\text{TiO}_2$ , ĐƯỢC BIẾN TÍNH BỞI $\text{Fe}_2\text{O}_3$ BẰNG PHƯƠNG PHÁP SOL-GEL

Đến Tờ soạn 19-10-2008

NGUYỄN QUỐC TUẤN<sup>1</sup>, LUU CẨM LỘC<sup>2</sup>, HỒ SĨ THOÀNG<sup>2</sup>

<sup>1</sup>Trường Đại học Đà Lạt

<sup>2</sup>Viện Công nghệ Hóa học tại Tp. Hồ Chí Minh

## ABSTRACT

*Thin layers of pure  $\text{TiO}_2$  and  $\text{TiO}_2$  doped by different amounts of  $\text{Fe}_2\text{O}_3$  have been prepared by sol-gel method with tetraisopropyl orthotitanate and  $\text{Fe}(\text{NO}_3)_3$ . Physico-chemical properties of the catalysts were studied by the methods of BET Adsorption, X-ray Diffraction (XRD), FE-SEM, as well as Raman, IR and UV-Vis spectroscopies. Photocatalytic activity of the obtained materials was investigated in the reaction of complete oxidation of p-xylene in gas phase under the radiation of UV ( $\lambda = 365 \text{ nm}$ ) and Blue LED ( $\lambda = 470 \text{ nm}$ ) lamps. It has been found that particle's size of all the samples is distributed in the range of 20-30 nm. The content of rutile phase in Fe-doped  $\text{TiO}_2$  samples varied from 6.8 to 41.8% depending on the Fe content. Iron oxide doped into  $\text{TiO}_2$  enables to move the photon absorbing zone of  $\text{TiO}_2$  from UV toward visible wave lengths as well as to reduce its band gap energy from 3.2 eV to 2.67 eV. Photocatalytic activities of the  $\text{TiO}_2$  samples promoted by  $\text{Fe}^{3+}$  have been found to be higher than those of pure  $\text{TiO}_2$ .*

## I - MỞ ĐẦU

Titan dioxit  $\text{TiO}_2$  là một chất quang xúc tác được sử dụng nhiều nhất trong phân hủy các chất gây ô nhiễm nước và không khí [1, 2]. Khi một lượng nhỏ ion kim loại chuyển tiếp, như Fe, V, Cu... được cấy vào, hoạt tính quang xúc tác của  $\text{TiO}_2$  được nâng cao [3 - 6] do chúng làm thay đổi giá trị đại lượng năng lượng vùng cấm và tốc độ tái kết hợp của cặp điện tử-lỗ trống quang sinh.  $\text{TiO}_2$  thuần có hoạt tính quang hóa rất thấp dưới bức xạ của ánh sáng khả kiến, bởi vì vùng ánh sáng mà  $\text{TiO}_2$  thuần có thể hấp thụ chỉ chiếm khoảng 3,5% phổ ánh sáng mặt trời [7, 8]. Khi được biến tính bằng các kim loại chuyển tiếp vùng hấp thụ ánh sáng của  $\text{TiO}_2$  dịch chuyển từ vùng từ ngoại sang vùng khả kiến. Khả năng dịch chuyển phổ hấp thụ ánh sáng của  $\text{TiO}_2$  về phía ánh sáng đỏ giảm theo

thứ tự sau: V > Cr > Mn > Fe > Ni [9]. Khi tăng nồng độ Mn, V, Fe và Cr phổ hấp thụ UV-Vis của  $\text{TiO}_2$  càng chuyển về vùng ánh sáng đỏ [9, 10]. Phương pháp sol-gel thường được dùng để điều chế vật liệu có kích thước nano với độ tinh khiết và đồng đều cao [11, 12]. Mục tiêu của công trình là điều chế các mẫu  $\text{TiO}_2$  được biến tính bởi Fe ( $\text{Fe}-\text{TiO}_2$ ) bằng phương pháp sol-gel và nghiên cứu thành phần, tính chất lý-hóa và hoạt độ quang xúc tác của chúng trong phản ứng oxy hóa sâu hơi p-xylen trong không khí ẩm ở vùng ánh sáng khả kiến.

## II - THỰC NGHIỆM

Mẫu  $\text{TiO}_2$  được cấy Fe với nồng độ khác nhau được điều chế theo phương pháp sol-gel như sau: cho 3 ml tetraisopropyl orthotitanat (TTIP) vào 50 ml etanol tinh khiết đã được axit

hóa bằng  $\text{HNO}_3$ , để có  $\text{pH} = 3 - 4$ , khuấy mạnh, tạo dung dịch chứa TTIP trong suốt. Hòa tan một lượng cần thiết  $\text{Fe}(\text{NO}_3)_3$  trong nước cất. Lấy 2ml dung dịch  $\text{Fe}(\text{NO}_3)_3$  với nồng độ thích hợp (từ 0,00125 – 0,1M) cho vào dung dịch TTIP, sao cho hàm lượng  $\text{Fe}_2\text{O}_3$  trong  $\text{TiO}_2$  là 0,025; 0,05; 0,10; 0,50; 1,00 và 2,00 (mol)%; khuấy trong 90 phút tạo sol. Để yên dung dịch trong không khí khoảng 24 giờ để lượng TTIP bị thủy phân hoàn toàn và tạo gel. Lọc, rửa sản phẩm thu được lần lượt bằng etanol và nước cất. Sấy mẫu thu được ở  $110^\circ\text{C}$  trong 1 giờ để đuổi lượng alcol và nước dư, sau đó nung mẫu ở  $550^\circ\text{C}$  trong 4 giờ để kết tinh. Các tính chất lý-hóa của vật liệu được xác định bằng các phương pháp sau đây: do diện tích bề mặt riêng bằng hấp thụ phô khí  $\text{N}_2$  ở nhiệt độ nitơ lỏng ( $-196^\circ\text{C}$ ) trên thiết bị Chembet 3000, khảo sát phổ nhiễu xạ X (XRD) trên thiết bị XRD Ray Diffraction XD-5A của hãng Shimadzu, chụp ảnh FE-SEM trên máy HITACHI S-4800, ghi phổ Raman trên máy do phô Perkin-Elmer 2000 NIR FT-Raman, phổ hấp thụ UV-Vis trên thiết bị Jasco V-550 và phổ hồng ngoại IR trên thiết bị VECTOR 22 BRUKER (Đức). Hoạt tính quang xúc tác của vật liệu được xác định trong phản ứng oxy hóa sâu hơi p-xylen ở  $40^\circ\text{C}$ . Xúc tác được tạo màng trên ống thủy tinh pyrex với diện tích màng là  $68 \text{ cm}^2$  có khối lượng mẫu là 5

Bảng 1: Ký hiệu, thành phần pha, kích thước hạt ( $d$ ), diện tích bề mặt riêng ( $S_{\text{BET}}$ ), bước sóng ánh sáng hấp thụ ( $\lambda$ ) và năng lượng vùng cấm ( $E_{\text{hg}}$ ) của các mẫu  $\text{Fe}-\text{TiO}_2$  được điều chế.

Mẫu	$\text{TiO}_2$	0,025Fe- $\text{TiO}_2$	0,050Fe- $\text{TiO}_2$	0,100Fe- $\text{TiO}_2$	0,500Fe- $\text{TiO}_2$	1,00Fe- $\text{TiO}_2$	2,00Fe- $\text{TiO}_2$
Hàm lượng Fe, %	0	0,025	0,05	0,10	0,50	1,00	2,00
Anatase, %	93,2	75,9	58,3	58,9	81,0	80,4	81,8
Rutile, %	6,8	24,1	40,8	41,1	19,0	19,6	18,2
$d$ , nm	30,0	27,6	29,5	30,3	24,8	21,6	19,5
$S_{\text{BET}}$ , $\text{m}^2/\text{g}$	45	15,5	11,2	9,6	34,6	36,9	42,9
Điểm uốn $\lambda$ , nm	387	425	424	423	442	449	464
$E_{\text{hg}}$ , eV	3,20	2,92	2,93	2,93	2,80	2,76	2,67

mg. Nguồn phát sáng là đèn UV ( $\lambda = 365 \text{ nm}$ ) với công suất mỗi đèn là 8 w và 80 đèn LED xanh - BLED ( $\lambda = 400-510 \text{ nm}$ ) công suất 0,24 w/bóng. Hỗn hợp phản ứng được phân tích bằng phương pháp sắc ký khí trên máy GC Agilent 6890 Plus, detector FID, cột mao quản HP-1 methyl siloxane (30 m; 0,32 mm; 0,25  $\mu\text{m}$ ).

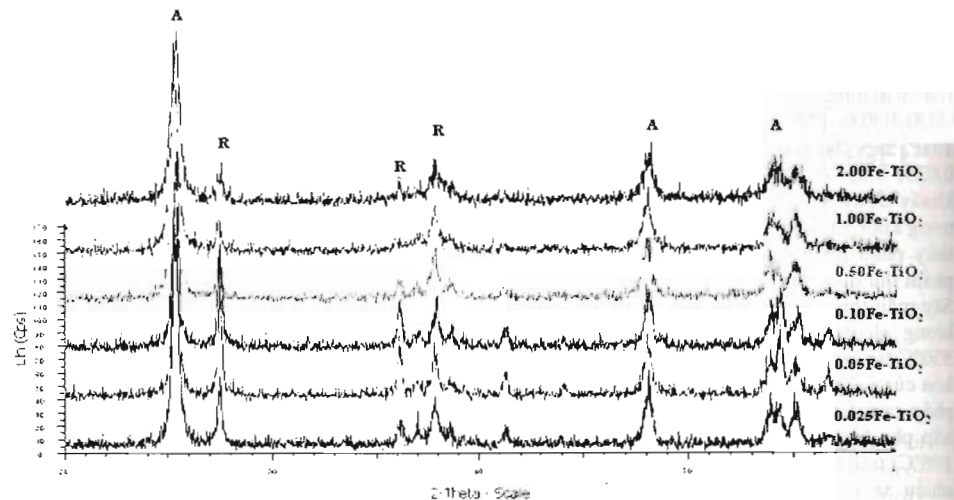
### III - KẾT QUẢ VÀ BIỆN LUẬN

#### 1. Các tính chất lý-hóa

Thành phần và một số đặc trưng lý-hóa của các mẫu  $\text{Fe}-\text{TiO}_2$  được trình bày trong bảng 1.

Phổ XRD của các mẫu  $\text{TiO}_2$  biến tính với hàm lượng  $\text{Fe}_2\text{O}_3$  thay đổi từ 0 đến 2% trên hình 1 cho thấy, các mẫu  $\text{Fe}-\text{TiO}_2$  đều có các đỉnh đặc trưng của  $\text{TiO}_2$  ở hai dạng anatase ( $2\theta = 25,3^\circ$ ) và rutile ( $2\theta = 27,5^\circ$ ). Ngoài các đỉnh này, không thấy sự xuất hiện của các đỉnh đặc trưng cho  $\text{Fe}_2\text{O}_3$ , cũng như các đỉnh lạ khác. Điều này chứng tỏ rằng, Fe đã được đưa vào mạng tinh thể của  $\text{TiO}_2$ ; các ion  $\text{Fe}^{3+}$  đã thay thế vị trí của các ion  $\text{Ti}^{4+}$  trong mạng tinh thể của  $\text{TiO}_2$ .

Kích thước hạt  $\text{TiO}_2$  được tính theo công thức Scherrer. Kết quả trong bảng 1 cho thấy, các xúc tác  $\text{TiO}_2$  biến tính đều có thành phần pha anatase là chủ yếu.



Hình 1: Phổ XRD của các mẫu Fe-TiO<sub>2</sub> với hàm lượng Fe<sub>2</sub>O<sub>3</sub> khác nhau  
(A – anatase, R – rutile)

Hàm lượng các pha anatase và rutile trong xúc tác thay đổi tùy vào hàm lượng Fe. Lúc đầu, khi tăng hàm lượng Fe<sub>2</sub>O<sub>3</sub> từ 0 đến 0,1% hàm lượng rutile tăng mạnh; với nồng độ Fe<sub>2</sub>O<sub>3</sub> 0,1% hàm lượng rutile trong xúc tác đạt tối 41%. Tuy nhiên, nếu tiếp tục tăng nồng độ Fe<sub>2</sub>O<sub>3</sub>, hàm lượng rutile bắt đầu giảm và thành phần pha của các mẫu chứa từ 0,5 đến 2,0% Fe tương tự thành phần pha của TiO<sub>2</sub> Degussa P25 thương phẩm. Song song với sự thay đổi thành phần pha, kích thước hạt TiO<sub>2</sub> và diện tích bề mặt riêng của các mẫu cũng thay đổi. Trong nhóm các mẫu chứa hàm lượng Fe<sub>2</sub>O<sub>3</sub> thấp (dưới 0,1%) tỉ lệ pha rutile lên đến 24,1 – 41,1%, còn giá trị đại lượng d thay đổi trong khoảng 28 – 30 nm và diện tích bề mặt riêng giảm dần từ 15,6 xuống ~ 9,6 m<sup>2</sup>/g khi hàm lượng Fe tăng từ 0,025 lên đến 0,10%. Tuy nhiên, khi hàm lượng Fe<sub>2</sub>O<sub>3</sub> lên đến 0,50% hoặc cao hơn, tỉ lệ pha rutile trong các mẫu chỉ trong khoảng 18 – 20% thì kích thước các hạt TiO<sub>2</sub> giảm mạnh và hàm lượng Fe càng cao thì kích thước hạt càng nhỏ, diện tích bề mặt lại lớn lên. Mẫu 2,00Fe-TiO<sub>2</sub> có kích thước hạt nhỏ nhất, chỉ xấp xỉ 19,5 nm và diện tích bề mặt riêng cao nhất, đạt 42,9 m<sup>2</sup>/g. Điều này cho thấy Fe có ảnh hưởng đến sự hình thành tinh thể TiO<sub>2</sub>.

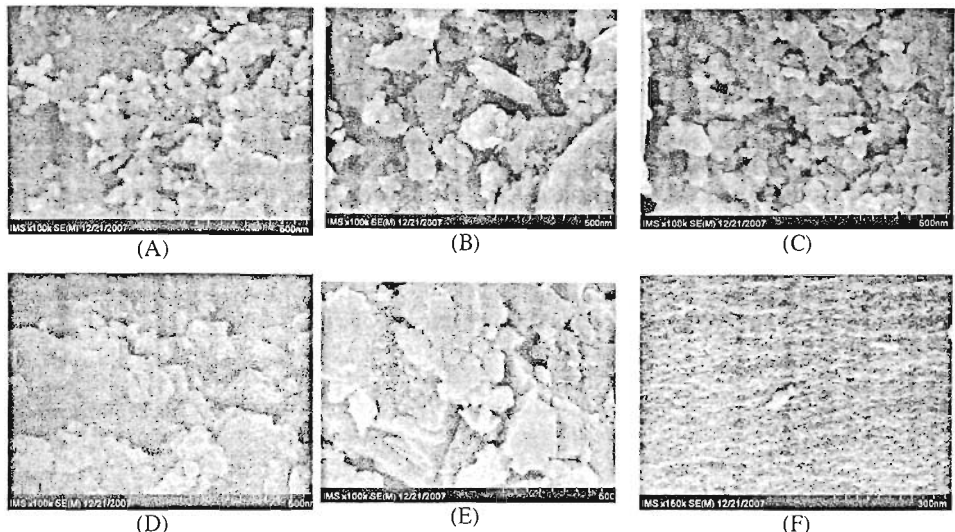
Ảnh FE-SEM (hình 2) cho thấy, mẫu 0,025Fe-TiO<sub>2</sub> có các hạt kết tinh khá đồng đều. Khi tăng hàm lượng Fe<sub>2</sub>O<sub>3</sub> lên 0,05 %, bắt đầu xuất hiện những hạt TiO<sub>2</sub> kết khối lớn. Trong các mẫu với hàm lượng Fe<sub>2</sub>O<sub>3</sub> từ 0,10 đến 1,00% vẫn tồn tại những hạt TiO<sub>2</sub> nhỏ lẫn với các khối TiO<sub>2</sub> lớn. Tuy nhiên, ảnh FE-SEM của mẫu 2,00Fe-TiO<sub>2</sub> lại hoàn toàn khác; các hạt TiO<sub>2</sub> min phân bố đều trên bề mặt và không còn tồn tại các khối TiO<sub>2</sub>.

Phổ Raman của các mẫu biến tính (hình 3a) có các đỉnh ở các tần số 407, 522, 648 và 853 cm<sup>-1</sup>, so với mẫu TiO<sub>2</sub> thuần (hình 3b), tương ứng với các đỉnh hấp thụ của TiO<sub>2</sub> dạng anatase là 144, 399, 519, 639 cm<sup>-1</sup> [13]; không thấy xuất hiện đỉnh đặc trưng của sắt. Sự hiện diện của sắt đã làm dịch chuyển các đỉnh hấp thụ của TiO<sub>2</sub> về phía có tần số lớn.

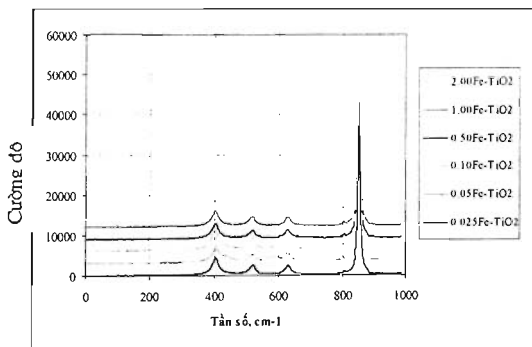
Hiện tượng này được các tác giả [14] giải thích là do kích thước hạt của các mẫu biến tính nhỏ đi. Đặc điểm nổi bật trên phổ Raman của các mẫu Fe-TiO<sub>2</sub> so với phổ của mẫu TiO<sub>2</sub> thuần là đỉnh đặc trưng cho dạng anatase trong các mẫu biến tính thay vì xuất hiện ở 144 cm<sup>-1</sup> lại xuất hiện ở 853 cm<sup>-1</sup>, chứng tỏ có Fe<sup>3+</sup> cài vào cấu trúc TiO<sub>2</sub>. Khi hàm lượng Fe<sub>2</sub>O<sub>3</sub> tăng từ

0,025 đến 2,00 % phô Raman của các mẫu cũng đều có 4 đỉnh ở vị trí gần như thế, chỉ khác nhau về cường độ. Điều đó cho thấy, sự thay đổi hàm lượng sắt không ảnh hưởng đến cấu trúc và đặc

tính liên kết mà chỉ ảnh hưởng đến kích thước hạt. Phô Raman của mẫu 1,00 Fe-TiO<sub>2</sub> có các đỉnh cao nhất và hẹp nhất, đồng thời đây cũng là mẫu có kích thước hạt lớn nhất.

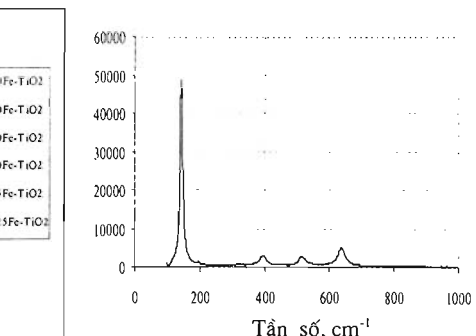


Hình 2: Ảnh Fe-SEM của các mẫu Fe-TiO<sub>2</sub> biến tính với hàm lượng Fe<sub>2</sub>O<sub>3</sub> (%k.l.)  
 (A) - 0,025; (B) 0,050; (C) 0,100; (D) 0,500; (E) 1,00; (F) 2,000



Hình 3a: Phô Raman của các mẫu TiO<sub>2</sub> biến tính bởi Fe với các hàm lượng khác nhau

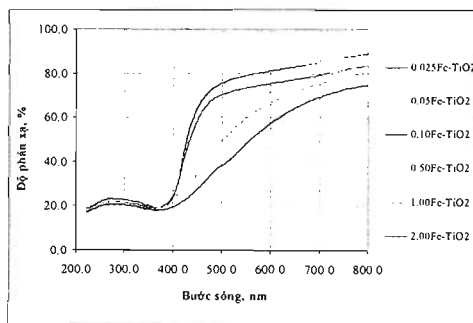
Mẫu TiO<sub>2</sub> không biến tính có năng lượng vùng cấm xấp xỉ của TiO<sub>2</sub> dạng anatase (xem bảng 1). Phô UV-Vis của các mẫu được biến tính



Hình 3b: Phô Raman của các mẫu TiO<sub>2</sub> thuần

Fe-TiO<sub>2</sub> (hình 4) cho thấy, khi hàm lượng Fe<sub>2</sub>O<sub>3</sub> tăng từ 0,025 lên 2,00%, vùng hấp thụ ánh sáng chuyển dịch về phía ánh sáng đỏ và giá trị của

dai lượng năng lượng vùng cấm giảm dần. Tất cả các mẫu biến tính đều dịch chuyển bước sóng hấp thụ sang vùng ánh sáng > 420 nm. Theo kết quả phân tích phổ UV-Vis và bảng 1 có thể chia các mẫu biến tính thành hai nhóm chính: Nhóm thứ nhất gồm các mẫu với hàm lượng  $\text{Fe}_2\text{O}_3$  thấp (0,025 - 0,10%), có năng lượng vùng cấm tương tự nhau, trong khoảng 2,92 - 2,93 eV và bước sóng hấp thụ ánh sáng 423 - 425 nm. Có thể thấy, ở nồng độ thấp hơn 0,10 %, sắt bắt đầu có ảnh hưởng đến tính chất quang của  $\text{TiO}_2$ , nhưng chưa rõ rệt. Đối với nhóm thứ hai, với hàm lượng  $\text{Fe}_2\text{O}_3$  từ 0,50 đến 2,00%, bước sóng ánh sáng hấp thụ của các mẫu dịch chuyển mạnh về phía ánh sáng đỏ và sự dịch chuyển này càng mạnh khi hàm lượng sắt càng cao. Mẫu chứa 2,00%  $\text{Fe}_2\text{O}_3$  có bước sóng hấp thụ trung bình lớn nhất (464 nm) và năng lượng vùng cấm nhỏ nhất



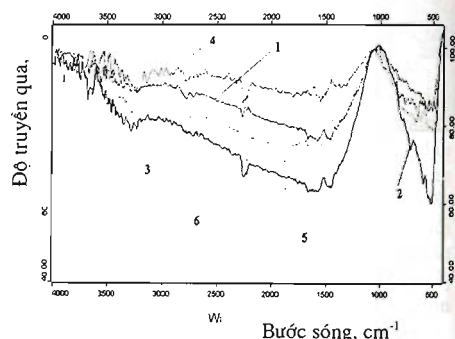
Hình 4: Phổ UV-VIS của các mẫu  $\text{TiO}_2$  được biến tính bởi  $\text{Fe}^{3+}$

Phân tích kết quả phổ IR (hình 5) cho thấy, trong các mẫu  $\text{Fe}-\text{TiO}_2$  đều xuất hiện các dính ứng với dao động của nhóm OH bề mặt ( $\nu = 3225 \text{ cm}^{-1}$ ), của nước phân tử ( $\nu = 1621 \text{ cm}^{-1}$ ) và dao động của các liên kết trong  $\text{TiO}_2$  (dao động  $\text{Ti}-\text{O}$  ở  $653 - 550 \text{ cm}^{-1}$  và  $\text{Ti}-\text{O}-\text{Ti}$  ở  $495 - 436 \text{ cm}^{-1}$ ) như trong mẫu  $\text{TiO}_2$  thuần. Đặc biệt, trong các mẫu  $\text{TiO}_2$  biến tính có thêm dính dao động ở  $\nu = 2200 \text{ cm}^{-1}$  với cường độ tăng dần theo hàm lượng sắt trong các mẫu như sau:

$2,00\text{Fe}-\text{TiO}_2 > 1,00\text{Fe}-\text{TiO}_2 > 0,500\text{Fe}-\text{TiO}_2 > 0,100\text{Fe}-\text{TiO}_2 > 0,050\text{Fe}-\text{TiO}_2 > 0,025\text{Fe}-\text{TiO}_2$ .

(2,67 eV). Kết quả này phù hợp với màu sắc quan sát được của các mẫu; khi tăng hàm lượng sắt oxit từ 0 đến 2%, màu của các mẫu chuyển dần từ trắng sang vàng nhạt và cuối cùng là vàng, ưng với mẫu 2,00Fe-TiO<sub>2</sub>.

Như vậy, bằng cách cấy Fe vào  $\text{TiO}_2$ , ngoài việc làm giảm kích thước hạt, còn có thể làm chuyển dịch vùng hấp thụ ánh sáng sang vùng khả kiến, là vùng bước sóng có mật độ lớn hơn trong phổ ánh sáng mặt trời, tạo điều kiện thuận lợi cho việc sử dụng  $\text{TiO}_2$  trong thực tế. Đồng thời, cũng cần lưu ý rằng, tuy mẫu 2,00Fe-TiO<sub>2</sub> có thành phần pha anatase, rutile và diện tích bề mặt riêng tương tự như mẫu  $\text{TiO}_2$  Degussa (P25), nhưng nó có kích thước hạt nhỏ hơn, hấp thụ được ánh sáng có bước sóng trong vùng khả kiến và giá trị dai lượng năng lượng vùng cấm thấp hơn nhiều.



Hình 5: Phổ IR của các mẫu  $\text{TiO}_2$  biến tính bởi  $\text{Fe}^{3+}$  với hàm lượng (%k.l): (1) 0,025; (2) 0,050; (3) 0,100; (4) 0,500; (5) 1,00 và (6) 2,00

Có thể cho rằng, đây là dính đặc trưng cho tần số dao động của  $\text{Ti}-\text{O}-\text{Fe}$ .

## 2. Hoạt tính quang oxi hóa *p*-xylen

Sản phẩm phản ứng chủ yếu là  $\text{CO}_2$  và  $\text{H}_2\text{O}$ . Các sản phẩm phụ được phát hiện bằng phân tích sắc ký-khối phổ, gồm 2-metylbenzadehyde, 4-metylbenzadehyde, phthalic anhydrit với hàm lượng rất thấp (vết).

Hoạt độ quang oxy hóa sâu hơi *p*-xylen trong không khí ẩm được thể hiện trong bảng 2. Từ bảng 2 ta thấy, đa số các mẫu biến tính đều có

hoạt độ ban đầu cao hơn so với mẫu  $\text{TiO}_2$  không biến tính. Có thể cho rằng, nguyên nhân của hiệu ứng này là do  $\text{Fe}^{+3}$  làm tăng số tần hoạt động của các mẫu xúc tác. Bởi vì, sự hình thành liên kết  $\text{Fe}-\text{O}-\text{Ti}$  trong mạng tinh thể  $\text{TiO}_2$  có khả năng tạo ra các khuyết tật trên bề mặt là các vị trí bẫy electron, làm hạn chế được sự tái kết hợp của electron quang sinh và lỗ trống quang sinh, cũng như tăng được khả năng tạo ra gốc tự do  $\text{OH}^+$ . Nguyên nhân khác có thể là do  $\text{Fe}^{+3}$  đã làm giảm năng lượng vùng cấm và giảm kích thước hạt. Độ chuyển hóa ban đầu của p-xylen trên các mẫu xúc tác dưới ánh sáng đèn BLED ( $\lambda = 470$  nm) luôn thấp hơn so với khi chúng được chiếu đèn UV ( $\lambda = 365$  nm). Đặc biệt, đối với mẫu  $\text{TiO}_2$  thuần giá trị đại lượng  $X_0$  trong trường hợp thứ hai thấp hơn trường hợp thứ nhất khoảng 3 lần. Điều này liên quan với việc, xúc tác  $\text{TiO}_2$  hấp thụ chủ yếu ánh sáng có  $\lambda = 365$

nm, còn các mẫu  $\text{Fe}-\text{TiO}_2$  hấp thụ chủ yếu ánh sáng trong vùng bước sóng dài hơn ( $\lambda = 424 - 464$  nm). Tuy có hoạt độ ban đầu cao hơn, nhưng các mẫu xúc tác chứa Fe có độ ổn định dưới ánh sáng từ ngoại kém hơn, cho nên, có hiệu suất chuyển hóa p-xylen kém hơn xúc tác  $\text{TiO}_2$  thuần. Tuy nhiên, trong vùng ánh sáng khả kiến bức tranh hoàn toàn khác, tất cả các mẫu xúc tác đều có hoạt độ ổn định trong suốt 60 phút, cho nên, hiệu suất chuyển hóa p-xylen trên các mẫu xúc tác được cấy Fe đều cao hơn hẳn so với xúc tác  $\text{TiO}_2$  thuần. Có thể cho rằng, đối với xúc tác  $\text{Fe}-\text{TiO}_2$  dưới ánh sáng từ ngoại quá trình lắng đọng cacbon trên bề mặt xúc tác diễn ra mạnh hơn so với xúc tác  $\text{TiO}_2$ , nhưng dưới ánh sáng khả kiến thì quá trình này bị hạn chế và các xúc tác đều làm việc ổn định, khi đó hiệu suất chuyển hóa p-xylen chỉ phụ thuộc vào hoạt độ của xúc tác.

Bảng 2: Độ chuyển hóa ban đầu của p-xylen ( $X_0$ ) và hiệu suất chuyển hóa trong 60 phút (H) trên các mẫu xúc tác có hàm lượng  $\text{Fe}_2\text{O}_3$  khác nhau (nhiệt độ phản ứng  $40^\circ\text{C}$ ; tốc độ thể tích dòng 6 l/h; nồng độ (C) các tác chất:  $C_{\text{xylen}} = 19 \text{ mg/l}$ ;  $C_{\text{O}_2} = 300 \text{ mg/l}$ ;  $C_{\text{H}_2\text{O}} = 11,5 \text{ mg/l}$ )

Xúc tác	$\text{TiO}_2$	0,025Fe- $\text{TiO}_2$	0,050Fe- $\text{TiO}_2$	0,100Fe- $\text{TiO}_2$	0,500Fe- $\text{TiO}_2$	1,00Fe- $\text{TiO}_2$	2,00Fe- $\text{TiO}_2$
3 đèn UV, $\lambda = 365$ nm (tổng công suất 24 W)							
$X_0$ , %	41,7	93,3	40,6	65,5	100,0	42,4	55,0
H, g/g xúc tác	8,10	5,59	3,48	3,02	5,34	2,74	2,52
80 đèn BLED, $\lambda = 470$ nm (tổng công suất 19,2W)							
$X_0$ , %	14,3	26,3	38,7	61,5	52,1	58,7	43,3
H, g/g xúc tác	1,88	3,62	3,72	5,88	4,29	4,09	5,64

Từ kết quả trên ta thấy, mặc dù đã chuyển được bước sóng ánh sáng hấp thụ sang vùng khả kiến, nhưng bước sóng dài nhất mới đạt tới 464 nm ở mẫu xúc tác chứa 2%Fe, ngắn hơn so với vùng ánh sáng chủ yếu của đèn BLED. Để có thể nâng cao hơn nữa khả năng oxy hóa p-xylen và phát huy ưu điểm về độ ổn định cao của các mẫu xúc tác biến tính làm việc trong vùng ánh sáng khả kiến, chúng tôi đã tiến hành phản ứng trên mẫu xúc tác 2,00Fe- $\text{TiO}_2$  trong điều kiện chiếu kết hợp cả đèn tử ngoại và đèn khả kiến,

đồng thời, để tăng sự ổn định của mẫu xúc tác trong vùng ánh sáng tử ngoại, thời gian lưu của p-xylen được giảm đi một nửa. Kết quả được trình bày trong bảng 3.

So sánh số liệu trong hai bảng 2 và 3 ta thấy, khi tăng gấp đôi tốc độ dòng, với đèn chiếu sáng UV (A), độ chuyển hóa ban đầu của xylen giảm do thời gian lưu giảm, nhưng chất xúc tác làm việc ổn định hơn, nên có hiệu suất chuyển hóa cao hơn. Hoạt độ của mẫu xúc tác 2,00Fe- $\text{TiO}_2$  khi chiếu kết hợp hai loại đèn (C) tại các thời

Bảng 3: Độ chuyển hóa của *p*-xylen ở các thời điểm khác nhau (X,%) và hiệu suất chuyển hóa trong 60 phút (H) trên mẫu xúc tác 2,00Fe-TiO<sub>2</sub> trong các điều kiện chiếu sáng khác nhau:

A) 3 đèn UV; B- 80 đèn BLED; C) 1 đèn UV và 80 đèn BLED  
 (T = 40°C; V= 12 l/h; C<sub>xylen</sub>= 6,33 mg/l; C<sub>CO2</sub> = 300 mg/l; C<sub>H2O</sub> = 7,83 mg/l)

Điều kiện phản ứng	Độ chuyển hóa <i>p</i> -xylen, X %				H, g/g xúc tác
	1	5	30	60	
A	31,2	38,0	33,1	24,8	4,72
B	14,4	22,3	13,8	13,2	2,08
C	72,7	80,9	68,4	69,3	10,5

điểm khảo sát cao hơn khi chỉ dùng đèn UV (A) 2-3 lần hoặc đèn BLED (B) 4-5 lần. Đồng thời, độ ổn định của mẫu xúc tác cũng tăng. Điều này có thể giải thích là, việc kết hợp đèn UV và đèn BLED đã phát huy được cường độ mạnh của đèn UV và bước sóng phát xạ phù hợp của đèn BLED, bên cạnh đó, điều kiện phản ứng cũng hạn chế bớt phản ứng phụ (tạo carbon lắng đọng) làm tăng độ bền làm việc của chất xúc tác. Nhờ đó, hiệu suất chuyển hóa *p*-xylen trong 60 phút trên xúc tác 2,00Fe-TiO<sub>2</sub> ở chế độ đèn kết hợp (UV+BLED) cao gấp 2,2 lần so với khi chỉ chiếu đèn từ ngoại và 5 lần khi chỉ chiếu đèn BLED. Kết quả này khẳng định ưu thế vượt trội của việc sử dụng đèn kết hợp (UV+BLED) đối với phản ứng quang oxy hóa *p*-xylen trong pha khí. Đồng thời, đây cũng là điều kiện tương tự như khi dùng ánh sáng mặt trời. Do đó, các kết quả nhận được có thể làm cơ sở khoa học cho việc tiếp tục nghiên cứu ứng dụng vào thực tiễn các hệ quang xúc tác TiO<sub>2</sub> biến tính.

#### IV - KẾT LUẬN

Cáy ion Fe<sup>3+</sup> vào TiO<sub>2</sub> đã làm thay đổi thành phần và một số tính chất của titan oxit, như mở rộng vùng ánh sáng hấp thụ, giảm giá trị đại lượng năng lượng vùng cấm, thay đổi thành phần pha, kích thước hạt và diện tích bề mặt riêng. Với nồng độ sắt nhỏ, hàm lượng rutile tăng và kích thước hạt giảm. Các mẫu chứa 0,50 - 2,00%Fe có thành phần, kích thước hạt tương tự xúc tác TiO<sub>2</sub> Degussa P25, nhưng lại có tính chất quang hóa hoàn toàn khác; Fe<sup>3+</sup> làm giảm giá trị đại lượng năng lượng vùng cấm của TiO<sub>2</sub>, giúp các mẫu biến tính có thể hấp thu ánh sáng trong vùng khà kiến. Dưới bức xạ của đèn

BLED các mẫu xúc tác Fe-TiO<sub>2</sub> có hoạt tính phân hủy *p*-xylen cao gấp 2 - 3 lần so với TiO<sub>2</sub> không biến tính. Việc kết hợp sử dụng đèn UV và đèn khà kiến có khả năng nâng cao đáng kể hiệu suất chuyển hóa *p*-xylen trên mẫu TiO<sub>2</sub> chứa 2% Fe<sub>2</sub>O<sub>3</sub>.

#### TÀI LIỆU THAM KHẢO

1. C. Su, B-Y. Hong, C-M Tseng. Catal. Today, 96, 119 - 126 (2004).
2. S. Carvinen, R-J. Lamminmaki. Solid state Sciences, 5, 1159 - 1166 (2003).
3. A. D. Paola, E. Garcia-Lopez, S. Ikeda, G. Marcia, B. Ohtani, L. Palmisano. Catal. Today, 95, 87 - 93 (2002)
4. J.C-S. Wu and C.H. Chen. J. Photochem. Photobiol. A: Chem. 1963, 509 - 515 (2004)
5. H. Slamet, W. Nasution, E. Purnama, S. Kosela, S. Gunlazuadi. Catal. Commun. 6, 313 - 322 (2005)
6. J. C. Colmenares, M. A. Aramendia, A. Marina, J. M. Marina, F. J. Urabano. Appl. Catal., A: General, 306, 120 - 127 (2006).
7. M. Anpo. Pure & Appl. Chem, 72, 1787-1792 (2000).
8. M. Romero, J. Blanco, B. Sanchez, A. Vidal, S. Malato, A. I. Cardona and E. Garcia. Solar Energy, 66, 169 - 182 (1999).
9. A. Di Paola, S. Ikeda, G. Marci, B. Ohtani and L. Palmisano. International Journal of Photoenergy, 3 (4), 171 - 176 (2001).
10. M. Anpo, M. Takeuchi. J. Catal., 216 (1-2), 505 - 516 (2003).

11. X. Z. Li, H. Lin, L. F. Cheng, H. J. Tong. *J. Environ. Sci. Technol.*, 37 (17), 3989 - 3994 (2003).
12. Y. Bessekhouad, D. Robert, J. V. Weber. *J. Photochem. Photobiol. A: Chem.*, 157, 47 - 53 (2003).
13. T. Ohsaka, F. Izumi, Y. Fujiki. *J. Raman Spectroscopy*, 7 (6), 321 - 324 (1978).
14. V. Swamy, A. Kuznetsov, L. S. Dubrovinsky, R. A. Caruso, D. G. Shchukin, B. C. Muddle. *Phys. Rev., B* 71, 184302 (2005).

Tác giả liên hệ: **Lưu Cẩm Lộc**

Viện Công nghệ Hóa học, số 1 Mạc Đĩnh Chi, Quận 1, Tp. Hồ Chí Minh